

## BAB III

### LANDASAN TEORI

#### 3.1 Mekanisme Pemikulan Beban

Fondasi tiang mengalihkan beban kepada tanah melalui dua mekanisme gesekan selimut dan tahanan ujung, kedua komponen tersebut ditunjukkan oleh gambar 2.2. Gesekan kulit diperoleh sebagai akibat adhesi atau perlawanan gesekan antara selimut tiang dengan tanah sekitarnya, sedangkan tahanan ujung timbul karena desakan ujung tiang terhadap tanah dasar. Jika fondasi tiang dibebani akan menghasilkan kurva beban penurunan seperti ditunjukkan oleh gambar 2.3 .

Konsep yang memisahkan gesekan selimut dan tahanan ujung fondasi tiang merupakan dasar perhitungan daya dukung tiang secara statik. Persamaan dasarnya mengambil bentuk sebagai berikut:

$$Q_u = Q_p + Q_s - W_p \quad (3.1)$$

Dimana :

$Q_u$  = daya dukung ultimit tiang

$Q_p$  = daya dukung ujung (selimut)

$Q_s$  = daya dukung selimut ultimit

$W_p$  = berat tiang

Komponen  $Q_p$  dan  $Q_s$  ditunjukkan pada tahap pembebanan terakhir gambar 2.4, berat tiang  $W_p$  umumnya amat kecil dan dapat diabaikan.

### 3.2 Metode Statis

Penentuan daya dukung fondasi tiang dengan cara statis dapat dilakukan sebagai berikut:

#### 3.2.1 Daya dukung Ujung Tiang ( $Q_p$ )

##### 1. Tanah pasir

Formula yang digunakan menurut cara *Mayerhof* (1976) adalah:

$$Q_{p1} = A_p \cdot q_p = A_p \cdot q \cdot N_q^* \quad (3.2)$$

Harga  $q_p$  tidak dapat melebihi daya dukung batas  $q_l$ , karena itu daya dukung ujung tiang tidak dapat lebih besar dari:

$$Q_{p2} = A_p \cdot q_l = A_p \cdot 5 \cdot N_q^* \cdot \tan \phi \quad (3.3)$$

dimana:

$Q_p$  = daya dukung ujung tiang

$q_p$  = daya dukung per satuan luas

$A_p$  = luas penampang ujung tiang

$q$  = tegangan vertikal efektif

$N_q^*$  = faktor daya dukung ujung

$q_l$  = daya dukung batas

$\phi$  = sudut geser dalam

Untuk kemudian, harga  $Q_{p1}$  dan  $Q_{p2}$  dibandingkan dan diambil harga yang lebih kecil untuk dipakai sebagai daya dukung ujung tiang.

Untuk tanah pasir berlapis harga  $q_p$  dapat ditentukan dengan cara berikut ini (lihat gambar 3.1):

$$q_p = q_{l(l)} + \left[ q_{l(d)} - q_{l(l)} \right] \frac{L_b}{10 \cdot D} \quad (3.4)$$

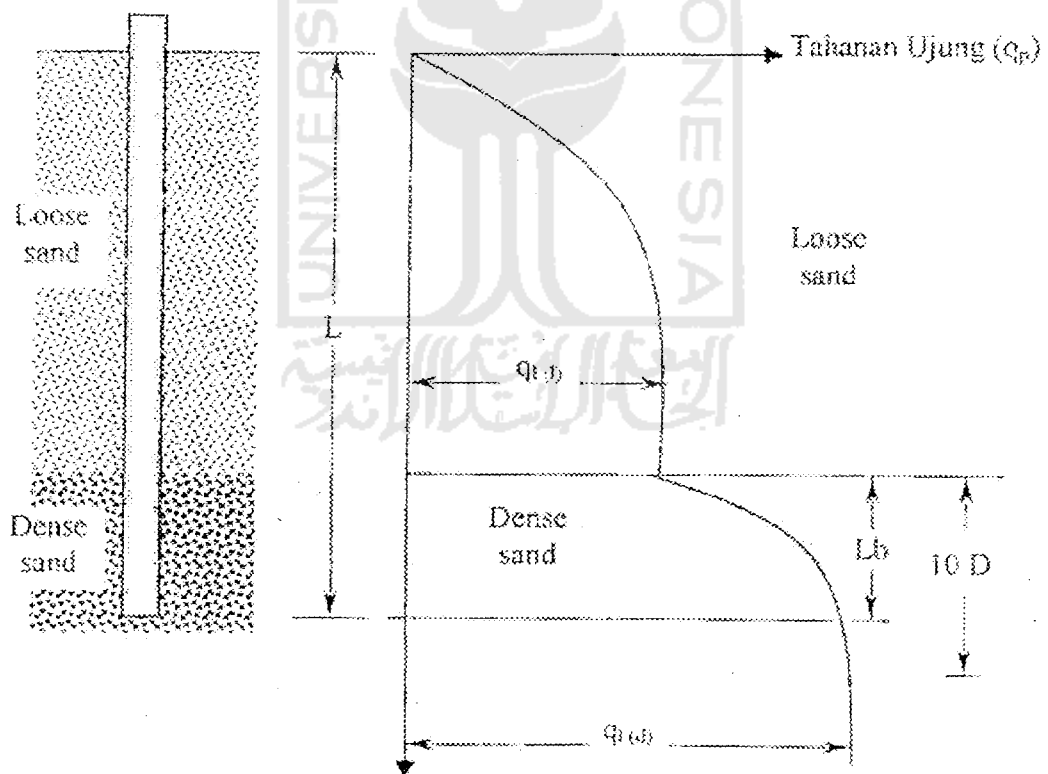
dimana:

$q_{l(l)}$  = harga  $q_l$  pada lapisan *loose sand*

$q_{l(d)}$  = harga  $q_l$  pada lapisan *dense sand*

$L_b$  = panjang penetrasi ke dalam lapisan bawah

$D$  = diameter atau sisi dan tiang



Gambar 3.1 Variasi satuan perlawanan ujung tiang pada pasir berlapis.

*Reese and O'Neill* (1989) merekomendasikan perhitungan tahanan ujung untuk tanah non kohesif sebagai berikut:

$$q'_{cr} = 0,60 \sigma_r \cdot N_{60} \leq 90.000 \text{ lb/ft}^2 \text{ (4500 kPa)} \quad (3.5)$$

Keterangan:

$\sigma_r$  = tegangan referensi =  $2000 \text{ lb/ft}^2 = 100 \text{ kPa}$

$N_{60}$  = rata-rata nilai SPT  $N_{60}$  antara lapisan tanah keras dan kedalaman yang setara dengan 2 kali diameter ujung tiang di bawah tanah keras.

Jika diameter ujung lebih dari 50 in (1200 mm) maka nilai  $q'_{cr}$  diubah menjadi  $q'_{cr}$  untuk menjaga penurunan yang terjadi tetap pada toleransi yang diijinkan ( $\leq 1$  in), dengan mengikuti persamaan berikut:

$$q'_{cr} = 4,17 (B_r/B_b) q'_{cr} \cdot B_b \geq 50 \text{ in (1200 mm)} \quad (3.6)$$

## 2. Tanah lempung

Formula yang digunakan adalah:

$$Q_p = A_p \cdot q_p = A_p \cdot c_u \cdot N_c^* \quad (3.7)$$

Dimana:

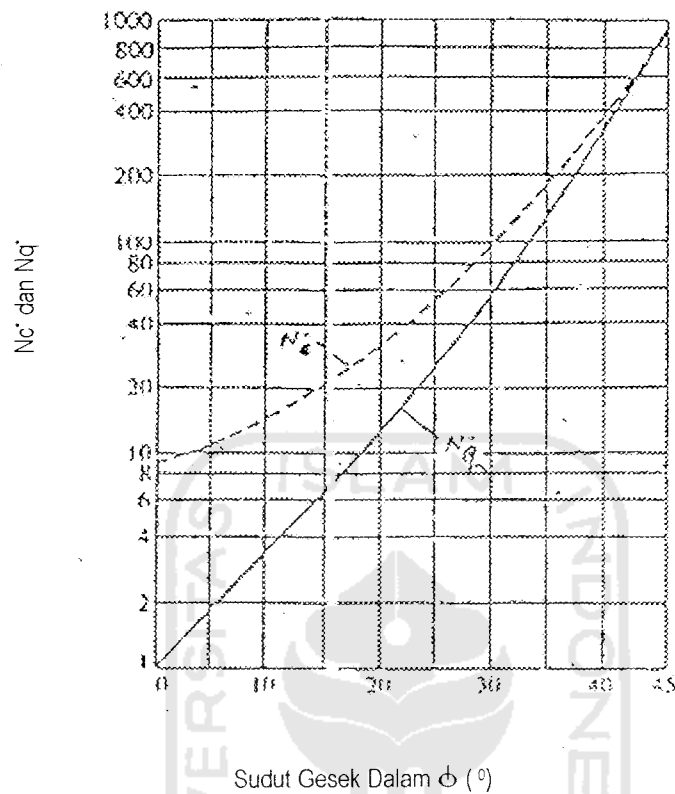
$Q_p$  = daya dukung ujung tiang

$A_p$  = luas penampang ujung tiang

$N_c^*$  = faktor daya dukung tanah

$c_u$  = nilai kohesi *undrained*

Harga dari  $N_c^*$  ditentukan sebagai fungsi sudut geser dalam ( $\phi$ ) seperti yang ditunjukkan pada gambar 3.2.



Gambar 3.2 Faktor daya dukung ujung  $N_c^*$  dan  $N_q^*$

### 3.2.2 Daya Dukung Selimut Tiang ( $Q_s$ )

Daya dukung selimut tiang ditentukan, berdasarkan rumus berikut ini:

$$Q_s = \sum A_s \cdot f \quad (3.8)$$

dimana:

$A_s$  = luas selimut tiang

$$= p \cdot \Delta L$$

$p$  = keliling tiang

$f$  = gesekan selimut satuan

$\Delta L$  = panjang segmen tiang

Di bawah ini diberikan cara untuk menentukan gesekan selimut ( $f$ ):

### 1. Tanah pasir

$$f = K \cdot \sigma' \cdot \tan \delta \quad (3.9)$$

dimana:

$K$  = koefisien tegangan tanah lateral

$\sigma'$  = tegangan vertikal efektif tanah

$\delta$  = sudut gesek permukaan

Harga  $K$  dan  $\delta$  menurut *Tomlinson* (1986) ditentukan berdasarkan tabel berikut:

Tabel 3.1 Penentuan harga  $K$  dan  $\delta$

Bahan	$\delta$	Nilai K	
		Kepadatan relatif rendah	Kepadatan relatif tinggi
Baja	20°	0,5	1,0
Beton	$\frac{3}{4} \phi$	1,0	2,0
Kayu	$\frac{2}{3} \phi$	1,5	4,0

Pada perhitungan tahanan gesek selimut ( $f_s$ ) pada tanah non kohesif juga bisa digunakan metode  $\beta$  (*Donald P. Coduto, 1994*) sebagai berikut:

#### Metode $\beta$

$$f_s = \beta \cdot \sigma_v \quad (3.10)$$

$$\beta = K \tan \Phi_s \quad (3.11)$$

Keterangan:

$\sigma_v'$  = tegangan vertikal efektif pada tengah lapisan tanah.

$K$  = koefisien tekanan tanah lateral.

$\Phi_s$  = derajat gesek pada lapisan tanah.

Dengan tabel 3.1 dan 3.2 dapat ditentukan  $\Phi_s$  dan  $K$  dari derajat gesek tanah ( $\Phi$ ) dan koefisien tekanan tanah lateral pra konstruksi ( $K_o$ ). Akan tetapi  $K_o$  sulit ditentukan, sehingga Reese dan O'Neill (1989) memberikan rumus empiris untuk menghitung  $\beta$ .

$$\beta = 1,5 - 0,135 (z/B_r) \quad , \quad 0,25 \leq \beta \leq 1,20 \quad (3.12)$$

Keterangan:

$z$  = kedalaman dari permukaan tanah hingga tengah-tengah lapisan tanah.

$B_r$  = lebar referensi = 1,0 ft = 0,3 m

Tabel 3.2 Tipikal nilai  $\Phi_s/\Phi$  untuk desain pengeboran lapisan

(Sumber: Donald P. Coduto, 1984)

Construction Method	$\Phi_s/\Phi$
Open hole or temporary casing	1,0
Slurry method – minimal slurry cake	1,0
Slurry method – heavy slurry cake	0,8
Permanent casing	0,7

Tabel 3.3 Tipikal nilai  $K/K_o$  untuk desain pengeboran lapisan

(Sumber: Donald P. Coduto, 1984)

Construction Method	$K/K_o$
Dry construction with minimal sidewall disturbance and prompt concreting	1

Tabel 3.3 Lanjutan

Slurry construction – good workmanship	1
Slurry construction – poor workmanship	2/3
Casing under water	5/6

## 2. Tanah lempung

Ada beberapa formula yang digunakan diantaranya:

### a. Metode alpha (*Tomlinson*)

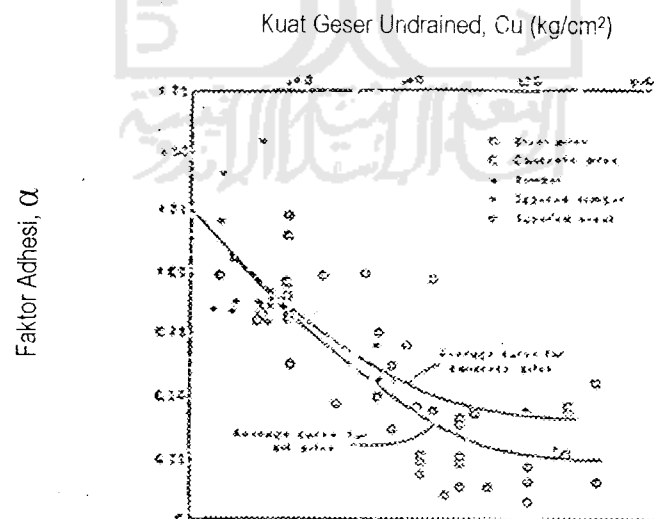
$$f = \alpha \cdot c_u \quad (3.13)$$

dimana:

$f$  = gesekan selimut

$\alpha$  = konstanta (ditentukan oleh gambar 3.3)

$c_u$  = nilai kohesi *undrained*



Gambar 3.3 Variasi Harga  $\alpha$  Terhadap Harga  $c_u$

### b. Metode beta (Metode Tegangan Efektif)

$$f_{ave} = \beta \cdot \sigma' \quad (3.14)$$



dimana:

$f_{ave}$  = gesekan selimut rata-rata

$$\beta = K \cdot \tan \phi_r \quad (3.15)$$

$\phi_r$  = sudut geser dalam pada kondisi terdrainase (dari uji triaksial)

$$K = 1 - \sin \phi_r \text{ (terkonsolidasi normal)} \quad (3.16)$$

$$K = (1 - \sin \phi_r) \sqrt{OCR} \quad (3.17)$$

$\sigma'$  = tegangan vertikal efektif

OCR = *Over Consolidation Ratio*

### 3.2.3 Daya Dukung Tiang Tunggal

Daya dukung tiang tunggal dapat dihitung sebagai berikut:

$$Q_u = Q_p + Q_s \quad (3.18)$$

$$Q_a = \frac{Q_u}{FK} \quad (3.19)$$

Dimana:

$Q_u$  = daya dukung ultimit tiang

$Q_a$  = daya dukung ijin tiang

$Q_p$  = daya dukung ujung tiang

$Q_s$  = daya dukung selimut tiang

FK = 2,5 (faktor keamanan)

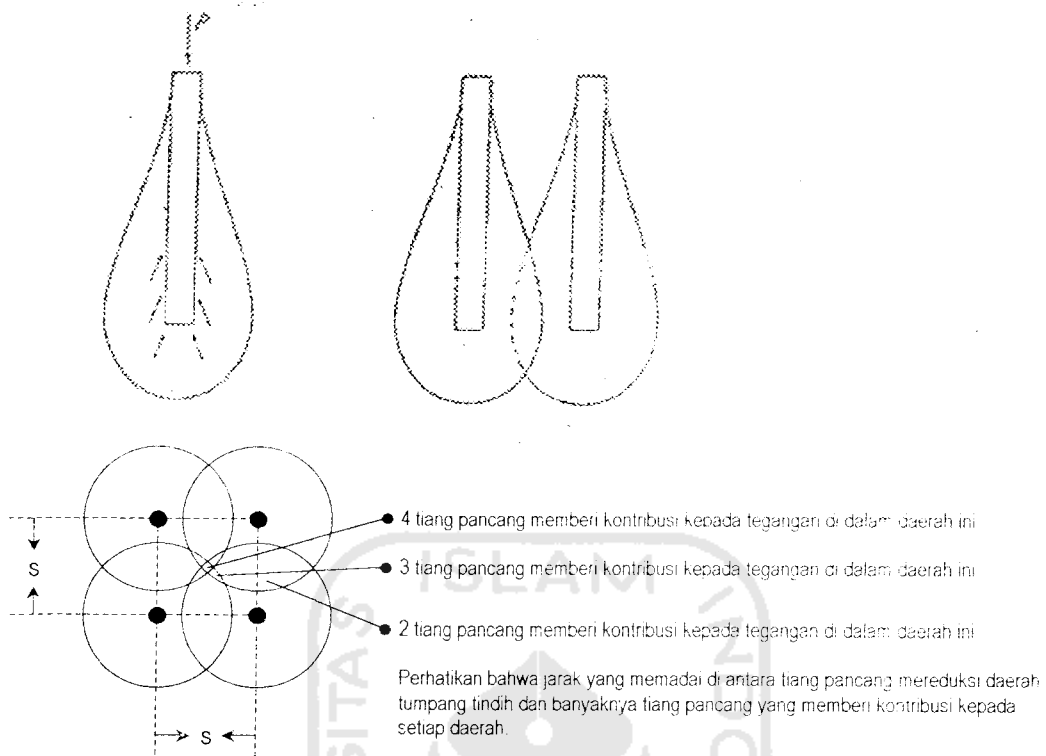
Untuk menentukan faktor keamanan dapat digunakan klasifikasi struktur menurut *Pugsley* (1996).

### 3.2.4 Daya Dukung Kelompok Tiang

Kelompok tiang merupakan kumpulan dari beberapa tiang, yang bekerja sebagai satu kesatuan. Penyatuan, kelompok tiang dengan pelat beton atau biasa dikenal dengan *pile cap* (*poer*).

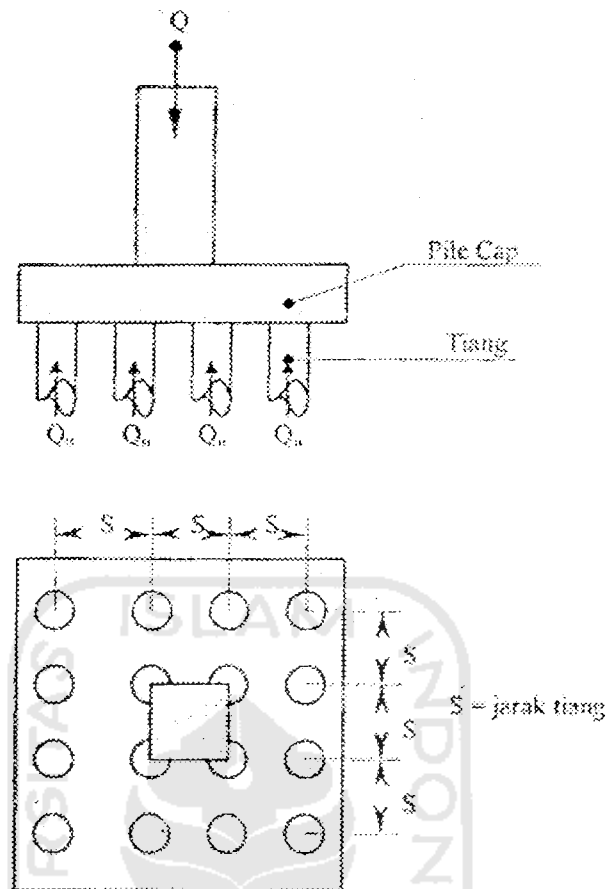
Dalam hal kelompok tiang maka baik tahanan ujung maupun pada keliling tiang akan terjadi *overlapping* daerah yang mengalami tegangan-tegangan akibat beban kerja struktur. Fondasi tiang yang duduk di atas lapisan pasir padat biasanya merupakan tiang tahanan ujung, untuk *overlapping* tegangan yang terjadi maka akan memperbesar tegangan keliling di sekitar tiang. Hal ini menguntungkan untuk fondasi yang duduk pada tanah pasir karena daya dukungnya akan meningkat.

Pada tiang tahanan gesek (fondasi tiang pada tanah lempung atau pasir lepas) maka *overlapping* tegangan akan terjadi di sekitar tiang yang akan mempengaruhi daya dukungnya. Karena jarak antara tiang tidak dapat dibuat terlalu besar (oleh alasan praktis) maka pengaruh kelompok tiang ini tidak dapat dihindarkan sehingga daya dukung kelompok tiang dapat lebih kecil dari jumlah total daya dukung masing-masing tiang. Pada gambar 3.4 menunjukkan daerah pengaruh tegangan pada tiang tunggal dan kelompok tiang.



Gambar 3.4 *Overlapping* daerah tegangan sekitar tiang tunggal dan kelompok tiang

Dalam masalah kelompok tiang, yang terpenting adalah jarak tiang pada umumnya susunan tiang dibuat simetris sehingga pusat berat kelompok tiang dan pusat berat *pile cap* terletak pada satu garis vertikal (gambar 3.5). Kebanyakan peraturan bangunan mensyaratkan jarak minimum antara tiang  $2 D$  dan jarak optimal antara tiang adalah  $2,5 D - 3,0 D$  dan jarak tiang ke tepi poer adalah  $1,25D$ .



Gambar 3.5 Kelompok tiang

### 3.2.5 Efisiensi Kelompok Tiang

Efisiensi kelompok tiang adalah perbandingan kapasitas kelompok terhadap jumlah kapasitas masing-masing tiang dalam satu *pile cap*.

#### 1. Tanah pasir

Untuk menentukan efisiensi kelompok tiang pada tanah pasir dapat dilakukan dengan beberapa formula seperti tersebut di bawah ini.

##### a. Formula sederhana

Formula ini didasarkan pada jumlah daya dukung gesekan dari kelompok tiang sebagai satu kesatuan (blok)

$$E_g = \frac{2(m+n-2)s + 4D}{p.m.n} \quad (3.20)$$

dimana:

$m$  = jumlah tiang pada deretan baris

$n$  = jumlah tiang pada deretan kolom

$p$  = keliling pada penampang tiang

$D$  = diameter atau sisi tiang

$S$  = jarak antar tiang

b. Formula *Los Angeles*

$$Eg = 1 - \frac{D}{\pi \cdot s \cdot m \cdot n} [m(n-1) + n(m-1) + (m-1)(n-1)\sqrt{2}] \quad (3.21)$$

dimana besar-besarnya sesuai dengan definisi terdahulu.

c. Formula *Seiler Keeney*

$$Eg = \left[ 1 - \frac{36 \cdot s \cdot (m+n-2)}{(75 \cdot s^2 - 7)(m+n-1)} \right] + \frac{0,3}{m+n} \quad (3.22)$$

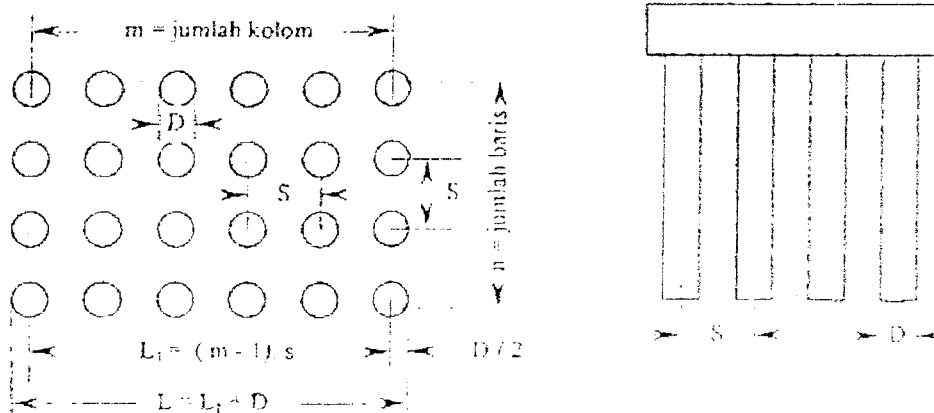
pada formula di atas (s) diambil dalam satuan meter.

d. Formula *Converse-Labarre*

Khusus untuk formasi kelompok tiang yang membentuk empat persegi panjang, maka efisiensi kelompok tiang dapat diperoleh berdasarkan persamaan *Converse-Labarre* sebagai berikut:

$$Eg = 1 - \left[ \frac{(n-1)m + (m-1)n}{90 \cdot m \cdot n} \right] \theta \quad (3.23)$$

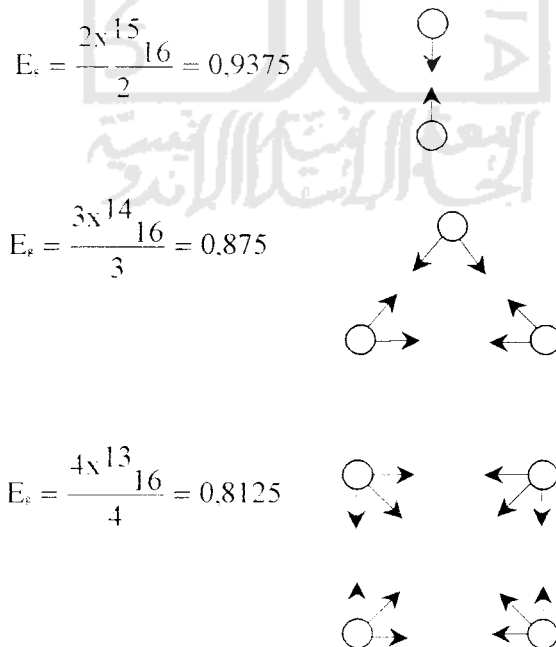
$$\theta = \arctg\left(\frac{D}{s}\right) \quad (3.24)$$

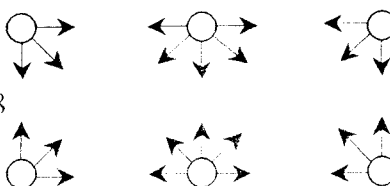


Gambar 3.6 Efisiensi kelompok tiang berdasarkan metode *Converse-Labarre*

e. Formula *iled*

Dengan menggunakan metoda *iled*, dalam metoda ini kapasitas pondasi individual tiang berkurang sebesar  $\frac{1}{16}$  akibat adanya tiang yang berdampingan baik dalam arah lurus maupun arah diagonal. Ilustrasi hasil perhitungan formula ini diberikan pada gambar 3.7



$$E_g = \frac{(4 \times 13/16) + (2 \times 11/16)}{6} = 0,7708$$


Gambar 3.7 Ilustrasi efisiensi kelompok tiang berdasarkan metode *Fled*

Menurut *Paulos, H G dan Davis, E.H, 1980* dalam menentukan daya dukung kelompok tiang pada tanah pasir perlu diperhatikan hal sebagai berikut:

1. Pada tiang pancang tahanan gesek maupun tiang tahanan ujung dengan  $s \geq 3D$ , daya dukung kelompok dapat diambil sama besar dengan jumlah daya dukung masing-masing tiang ( $E_g = 1$ ).

$$E_g = m \cdot n \cdot \sum Q_u \quad (3.25)$$

2. Pada tiang pancang tahanan gesek dengan  $s < 3D$ , digunakan salah satu formula di atas.
3. Pada tiang bor dimana tahanan gesek dominan dengan jarak  $s = 3D$ , nilai efisiensi berkisar antara 0,67 – 0,75, tetapi pada tiang bor tahanan ujung, nilai efisiensi dapat dianggap = 1,0.

Untuk menentukan kapasitas kelompok tiang pada tanah pasir dapat dilakukan seperti tersebut di bawah ini:

$$Q_{kell} = E_g \cdot Q_a \cdot n \quad (3.26)$$

dimana:

$E_g$  = efisiensi kelompok tiang

$n$  = jumlah tiang

$Q_a$  = daya dukung ijin tiang tunggal

## 2. Tanah lempung

Daya dukung batas kelompok tiang pada tanah lempung didasarkan pada aksi blok yaitu bila kelompok tiang berperan sebagai blok.

Untuk menentukan kapasitas kelompok tiang pada tanah lempung dapat dilakukan seperti tersebut di bawah ini:

- a. Ditentukan jumlah kapasitas kelompok tiang

$$\Sigma Q_u = m \cdot n \cdot (Q_p + Q_s) \quad (3.27)$$

$$= m \cdot n \cdot [9 \cdot c_{u(p)} + \alpha \cdot c_u \cdot p \cdot \Delta L] \quad (3.28)$$

- b. Ditentukan daya dukung blok berukuran  $L_g \times B_g \times \Delta L$

dimana:

$L_g$  = panjang kelompok

$B_g$  = lebar kelompok

$p$  = keliling

$c_u$  = kohesi tanah

$\Delta L$  = panjang segmen tiang

- c. Bandingkan kedua besaran di atas, harga daya dukung kelompok tiang diambil nilai yang lebih kecil.

### 3.2.6 Penurunan (*settlement*) fondasi tiang pada tanah non kohesif

Penurunan (*settlement*) pada fondasi tiang merupakan masalah yang kompleks karena gangguan pada keadaan tegangan tanah saat pemancangan dan



ketidakpastian mengenai distribusi dan posisi pengalihan beban (*load transfer*) dari tiang ke tanah.

### 1. Penurunan fondasi tiang tunggal

Untuk memperkirakan turunnya fondasi tiang tunggal pada tanah non kohesif dapat dihitung dengan menggunakan metode semi empiris.

$$S = S_s + S_p + S_{ps} \quad (3.29)$$

Dimana:

$S$  = penurunan total tiang fondasi tiang tunggal

$S_s$  = penurunan akibat deformasi axial tiang tunggal

$S_p$  = penurunan dari ujung tiang

$S_{ps}$  = penurunan tiang akibat beban yang dialihkan sepanjang tiang

$$\sum Q_u = Lg \cdot Bg \cdot c_{u(p)} \cdot N_c * + \sum 2 \cdot (L \cdot D) \cdot c_u \cdot \Delta L \quad (3.30)$$

$$S_s = \frac{(Q_p + \alpha \cdot Q_s) L}{A_p \cdot E_p} \quad (3.31)$$

Dimana:

$Q_p$  = beban yang didukung ujung tiang

$Q_s$  = beban yang didukung selimut tiang

$L$  = panjang tiang

$A_p$  = luas penampang tiang

$E_p$  = modulus elastis tiang =  $2 \cdot 10^6$  ton/m<sup>2</sup>

$\alpha$  = koefisien distribusi

*Vesic* (1977) menyarankan harga  $\alpha = 0,33 - 0,5$  untuk distribusi gesekan yang seragam sepanjang tiang. Distribusi tegangan seperti ini hanya

dapat diperoleh secara empiris dengan memonitor gesekan selimut saat uji pembebanan tiang.

$$S_p = \frac{C_p \cdot Q_p}{D \cdot q_p} \quad (3.32)$$

Dimana:

$C_p$  = koefisien empiris (lihat tabel 3.4)

$Q_p$  = perlawanan ujung di bawah beban kerja

$q_p$  = daya dukung batas di ujung tiang

$D$  = diameter atau sisi tiang

Tabel 3.4 Nilai koefisien  $c_p$  (Vesic, 1977)

Jenis Tanah	Tiang Pancang	Tiang Bor
Pasir	0,02 - 0,04	0,09 - 0,18
Lempung	0,02 - 0,03	0,03 - 0,06
Lanau (silt)	0,03 - 0,05	0,08 - 0,12

$$S_{ps} = \left[ \frac{Q}{P \cdot L} \right] \cdot \frac{D}{E_s} (1 - \nu_s^2) I_{ws} \quad (3.33)$$

Dimana:

$Q$  = beban kerja

$p$  = keliling tiang

$L$  = panjang tiang tertanam

$D$  = diameter tiang

$E_g$  = modulus elastisitas tanah = 1350 ton/m<sup>2</sup>

$\nu_s$  = poisson's ratio tanah = 0,2

$I_{ws}$  = faktor pengaruh hubungan antara panjang tiang tertanam dengan diameter tiang

$$I_{ws} = 2 + 0,3 \cdot \sqrt{\frac{L}{D}} \quad (3.34)$$

Tabel 3.5 Harga Poisson's Ratio  
(T.W. Lambe & R.V. Whitman, 1969)

Tipe Tanah	Poisson's Ratio
Clay, saturated	0,5
Clay, undrained	0,35 - 0,40
Clay, with sand and silt	0,30 - 0,42
Sandy soil	0,15 - 0,25
Sand	0,30 - 0,35

Penurunan pondasi tiang bor di bawah beban yang didukung biasanya kurang dari 1,0 inch (25 mm) untuk semua struktur bangunan. Akan tetapi, jika bagian terbesar dari kapasitas terletak pada tahanan ujungnya saja, maka penurunan akan lebih besar dari 1,0 inch.

*Resse and O'Neil* (1988), mengembangkan sebuah kurva untuk memperkirakan penurunan pondasi tiang bor dibawah *service loads*. Kurva tersebut menunjukkan perbandingan antara perlawanan yang termobilisasi dengan perlawanan aktual. Jika hasil penurunan terlalu besar, kurva tersebut digunakan untuk mengubah desain yang sesuai. Lihat lampiran 2 dan 3.

Contoh perhitungan dapat dilihat di bawah ini:

Sebuah bidang tanah lempung mempunyai pondasi dengan spesifikasi sebagai berikut:

$$B = 24 \text{ in}$$

$$B_b = 60 \text{ in}$$

$$Q_s = 330 \text{ k}$$

$$Q_p = 706 \text{ k}$$

$$Q_{all} = 410 \text{ k}$$

Penurunan yang terjadi adalah sebagai berikut:

$$\text{Dicoba } \delta = 0,2 \text{ in}$$

$$\frac{\delta}{B} = \frac{0,2}{24} = 0,8\% \text{ , dari lampiran 2, } Q_s \text{ yang bekerja} = (1,0)(330) = 330 \text{ k}$$

$$\frac{\delta}{B_b} = \frac{0,2}{60} = 0,3\% \text{ , dari lampiran 2, } Q_p \text{ yang bekerja} = (0,25)(706) = 176 \text{ k}$$

$$\frac{506 \text{ k} > 410}{}$$

$$\text{Dicoba } \delta = 0,1 \text{ in}$$

$$\frac{\delta}{B} = \frac{0,1}{24} = 0,4\% \text{ , dari lampiran 2, } Q_s \text{ yang bekerja} = (0,92)(330) = 304 \text{ k}$$

$$\frac{\delta}{B_b} = \frac{0,1}{60} = 0,2\% \text{ , dari lampiran 2, } Q_p \text{ yang bekerja} = (0,1)(706) = 71 \text{ k}$$

$$\frac{375 \text{ k} < 410}{}$$

$$\delta = 0,1 + 0,1 \left( \frac{410 - 375}{506 - 375} \right) = 0,13 \text{ in}$$

## 2. Penurunan kelompok tiang

Penurunan kelompok tiang umumnya lebih besar daripada fondasi tiang tunggal. Untuk memperkirakan penurunan yang terjadi pada kelompok tiang dapat dihitung dengan menggunakan metode *Vesic*, 1977.

$$S_g = S_R \cdot \sqrt{\frac{B_g}{D}} \quad (3.35)$$

Dimana:

$S_g$  = penurunan kelompok tiang

$S_R$  = penurunan rata-rata fondasi tiang tunggal

$B_g$  = lebar kelompok tiang

$D$  = diameter tiang tunggal

Menurut *Meyerhof* (1976), penurunan kelompok tiang pada pasir dan kerikil dapat menggunakan rumus sebagai berikut:

$$s_{g(c)}(\text{mm}) = \frac{0,92 \cdot q \cdot \sqrt{B_g \cdot I}}{N_{cor}} \quad (3.36)$$

dimana:

$$q = \frac{Q_g}{(L_g \cdot B_g)} \quad (3.37)$$

$L_g$  = panjang dari kelompok tiang

$B_g$  = Lebar kelompok tiang

$$N_{cor} = 0,77 \cdot \log \frac{20}{\sigma_v'} N \quad (3.38)$$

$$I = 1 - \frac{L}{8 \cdot B_g} \geq 0,5 \quad (3.39)$$

I = faktor pengaruh antara panjang tiang dengan lebar kelompok tiang

L = panjang tiang

### 3.3 Faktor Keamanan

Daya dukung ijin tiang ( $Q_a$ ) umumnya diperoleh dengan membagi daya dukung ultimit dengan suatu faktor keamanan baik secara keseluruhan atau dengan masing-masing faktor keamanan pada selimut tiang dan pada tahanan ujungnya.

$$Q_a = Q_u / FK \quad (3.40)$$

$$Q_a = \{ Q_p / FK_1 \} + \{ Q_s / FK_2 \} \quad (3.41)$$

Variasi besarnya faktor aman yang telah banyak digunakan untuk perancangan fondasi tiang bergantung pada jenis tiang, sebagai berikut:

#### 1. Tiang Pancang

$$Q_a = \frac{Q_u}{2,5} \quad (3.42)$$

Beberapa peneliti menyarankan faktor aman yang tidak sama untuk tahanan gesek dinding dan tahanan ujung. Kapasitas ijin dinyatakan dalam persamaan sebagai berikut:

$$Q_a = \frac{Q_p}{3} + \frac{Q_s}{1,5} \quad (3.43)$$

Penggunaan faktor aman sebesar 1,5 untuk tahanan gesek dinding ( $Q_s$ ) yang lebih kecil dari faktor aman untuk tahanan ujung tiang ( $Q_p$ ) yaitu 3,

karena nilai puncak dari tahanan gesek dinding dicapai bila tiang mengalami penurunan 2 – 7 mm, sedangkan tahanan ujung ( $Q_p$ ) membutuhkan penurunan yang lebih besar agar tahanan ujungnya bekerja dengan penuh. Jadi, maksud penggunaan faktor-faktor aman tersebut adalah untuk meyakinkan keamanan tiang terhadap keruntuhan tiang dengan mempertimbangkan penurunan tiang pada beban kerja yang diterapkan.

## 2. Tiang Bor

Kapasitas ijin tiang bor, diperoleh dari jumlah tahanan ujung dan tahanan gesek yang dibagi dengan faktor aman tertentu.

- a. Untuk dasar tiang yang dibesarkan dengan diameter  $D < 2m$

$$Q_a = \frac{Q_u}{2,5} \quad (3.44)$$

- b. Untuk tiang tanpa pembesaran dibagian bawahnya

$$Q_a = \frac{Q_u}{2} \quad (3.45)$$

Untuk diameter tiang ( $D$ ) lebih dari 2m, kapasitas tiang ijin perlu dievaluasi dari pertimbangan penurunan tiang. Selanjutnya, penurunan struktur harus pula dicek terhadap persyaratan besar penuruna toleransi yang masih diijinkan.

Suatu faktor keamanan biasanya digunakan untuk menghindari penurunan secara berlebih yang dapat membahayakan struktur di atasnya. Pondasi tiang juga digunakan untuk menahan beban miring, beban lateral atau gaya angkat (uplift) dan momen.



Untuk memperoleh kapasitas ijin tiang, maka kapasitas ultimit tiang perlu dibagi dengan faktor aman tertentu. Faktor aman ini perlu diberikan dengan maksud untuk:

1. Memberikan keamanan terhadap ketidakpastian metode hitungan yang digunakan,
2. Memberikan keamanan terhadap variasi kuat geser dan kompresibilitas tanah,
3. Meyakinkan bahwa bahan tiang cukup aman dalam mendukung beban yang bekerja,
4. Meyakinkan bahwa penurunan total yang terjadi pada tiang tunggal atau kelompok tiang masih dalam batas-batas toleransi,
5. Meyakinkan bahwa penurunan tidak seragam di antara tiang-tiang masih dalam batas-batas toleransi.

Sehubungan dengan alasan diameter butir ( $d$ ), dari hasil banyak pengujian-pengujian beban tiang, baik tiang pancang maupun tiang bor yang berdiameter kecil sampai sedang (600 mm), penurunan akibat beban kerja (*working load*) yang terjadi lebih kecil dari 10 mm untuk faktor aman yang tidak kurang dari 2,5 (Tomlinson, 1977)

*Reese dan O'Neill* menyarankan pemilihan faktor aman ( $F$ ) untuk perancangan pondasi tiang, berdasarkan atas:

1. Tipe dan kepentingan struktur,
2. Variabilitas tanah (tanah tidak *uniform*),
3. Ketelitian penyelidikan tanah,



4. Tipe dan jumlah uji tanah yang dilakukan,
5. Ketersediaan data di tempat uji (uji beban tiang),
6. Pengawasan/kontrol kualitas di lapangan,
7. Kemungkinan beban desain aktual yang terjadi selama beban layanan struktur.

Untuk memilih faktor aman, pengklasifikasian struktur berdasarkan sistem *Pugley* (1996):

1. *Monumental structures*, yang mempunyai umur desain lebih dari 100 tahun.  
Seperti: jembatan yang panjang dan besar, atau bangunan monumen.
2. *Permanent structures*, yang mempunyai umur desain antara 25-100 tahun.  
Seperti: jalan rel kereta api, bangunan besar pada umumnya.
3. *Temporary structures*, yang akan ditempati pada waktu yang singkat (kurang dari 25 tahun). Seperti: fasilitas industri yang bersifat sementara.

Tabel 3.6 Faktor aman yang disarankan (*Reese dan O'Neill, 1989*)  
(Sumber: HC. Hardiatmo)

Klasifikasi Struktur	Faktor Aman (F)			
	Kontrol Baik	Kontrol Normal	Kontrol Jelek	Kontrol sangat Jelek
Monumental	2,3	3	3,5	4
Permanen	2	2,5	2,8	3,4
Sementara	1,4	2	2,3	2,8